

# حذف کلرید منیزیم توسط غشاها نانوفیلتراسیون تهیه شده از نانوذرات اکسید مس

شکیبا قهیه‌ئی، عبدالرضا مقدسی\*، سمانه بندده‌علی\*، مرتضی حبیبی و مریم اسکندری

دانشکده مهندسی شیمی، دانشکده فنی مهندسی، دانشگاه اراک، ایران

تاریخ دریافت: ۱۴۰۰/۱۰/۲۰ تاریخ پذیرش: ۱۴۰۱/۰۳/۲۳

## چکیده

در این تحقیق ابتدا نانوذرات مس اکسید تک ظرفیتی به روش الکتروشیمیایی سنتز شدند و از نانوذرات سنتز شده برای اصلاح و ساخت غشاها نانوفیلتراسیون بر پایه پلی اترسولفون استفاده شد. غلظت‌های مختلفی از نانوذرات مس اکسید تک ظرفیتی به عنوان افزودنی در پلی اترسولفون به عنوان ماتریس غشایی جهت تهیه غشاها نانوفیلتراسیون  $\text{Cu}_2\text{O}$  (SEM) مورد استفاده قرار گرفت. غشاها تهیه شده توسط تبدیل فوریه فروسرخ (FT-IR) و میکروسکوپ الکترونی روبشی (SEM) آنالیز شدند. تجزیه و تحلیل FTIR تشکیل پیوندهای مطلوب را در نانوذرات سنتزی مس اکسید تک ظرفیتی و غشاها ساخته شده، نشان داد. عملکرد جداسازی غشاها ساخته شده با شار آب خالص و پس‌دهی کلرید منیزیم مورد بررسی قرار گرفت. نتایج بالاترین شار آب خالص  $36/78 \text{ L/m}^2\text{h}$  را برای غشای ساخته شده M1 در  $0/05\%$  وزنی نانوذرات  $\text{Cu}_2\text{O}$  نشان داد. علاوه‌بر این، بالاترین میزان پس‌دهی  $72\% \text{ MgCl}_2$  در  $2\% \text{ Cu}_2\text{O}$  نانوذرات مس اکسید تک ظرفیتی برای غشای ساخته شده M5 گزارش شد.

**کلمات کلیدی:** غشای نانوفیلتراسیون، حذف کلرید منیزیم، نانوذرات مس اکسید، روش‌های اصلاح، خواص جداسازی

و مواد نانو به عنوان خود غشاء و یا به عنوان یک ماده افزودنی در ماتریس غشاء یکی از روش‌های امیدوارکننده برای افزایش عملکرد جداسازی غشاء و خواص فیزیکی و شیمیایی آنها است [۱-۵]. گرافن اکساید، نانوذرات اکسید فلز، نانولوله‌های کربنی و ... به عنوان یک نانومواد آب‌دوست برای ساخت غشاء مورد مطالعه قرار گرفته‌اند [۶ و ۷]. سنتز نانوساختارهای اکسید فلزی با ساختار کنترل شده، خواص نوری، مغناطیسی، حرارتی و کاتالیزوری مفیدی را به نمایش می‌گذارد [۸].

## مقدمه

فن‌آوری غشاء و فرآیندهای غشایی به عنوان روش‌های جذاب در فرآیندهای جداسازی اخیراً رو به رشد بوده است. غشاها نانوفیلتراسیون یکی از انواع غشاها فیلتراسیون هستند که عملکرد جداسازی بسیار خوبی را برای نمک‌های تک‌ظرفیتی و چند‌ظرفیتی نشان داده‌اند. استفاده از فن‌آوری نانو

## پژوهش نفت شماره ۱۲۵، مهر و آبان ۱۴۰۱، صفحه ۷۷-۹۰

افزودنی‌های آمین عامل دارشده از نانوذرات مس (II) اکسید و روی اکسید بر خصوصیات نفوذپذیری و مورفولوژی غشای نانوکامپوزیتی اولترافیلتراسیون پلی‌اترسولفون را بررسی کردند. سپس از مقایسه دو گروه آمین عامل دار شده مشخص شد که کاربرد نانوساختار آمین عامل دار شده با مس اکسید در شبکه پلیمری پلی‌اترسولفون یک تأثیر مثبتی در نفوذپذیری داشت که از  $886/6 \text{ kg/m}^2\cdot\text{h}$  به  $554/2 \text{ kg/m}^2\cdot\text{h}$  در  $0/5$  درصد وزنی آمین عامل دارشده مس اکسید رسید. از این طریق، میزان آب‌دوستی و تخلخل غشاء افزایش یافت و منجر به بهبود قابل توجهی در میزان شار آب خالص شد. در این مطالعه، نانوذرات مس اکسید به روش الکتروشیمیایی سنتز شدند. این نانوذرات به طور گستردگی در سلول‌های خورشیدی، حسگرها (حسگرهای زیستی و گاز)، دستگاه‌های حافظه پلیمری، دستگاه‌های نیمه‌رسانا، به عنوان فتوکاتالیست و الکتروکاتالیست، باتری‌های یونی لیتیوم استفاده می‌شوند [۱۵-۱۷]. تاکنون ساخت غشاهای نانوفیلتراسیون گزارش نشده است. نانوذرات سنتز شده اکسید مس تک ظرفیتی در ساختار غشاهای PES مورد استفاده قرار گرفتند. از آنجایی که میزان بالای کلرید منیزیم باعث سختی آب می‌شود و مقدار آن براساس استاندارد ملی باید محدود باشد، توجه به مقدار کلرید منیزیم در آب آشامیدنی ضروری است. بنابراین، غشاهای ساخته شده جهت حذف کلرید منیزیم از آب مورد استفاده قرار گرفتند. غشاهای اصلاح شده و اصلاح نشده با آنالیزهای FTIR و SEM مشخص شدند. سپس عملکرد جداسازی غشاهای آماده شده با شار آب خالص و پسدھی نمک  $\text{MgCl}_2$  مورد بررسی قرار گرفت.

1. Escherichia Coli

2. Staphylococcus Aureu

در بین نانوذرات اکسیدهای فلزی، از نانو ذرات مس اکسید به صورت محدودتری استفاده شده است. مس اکسید یک ماده با قابلیت بالا جهت حذف آلاینده‌ها در فرآیندهای غشایی است و یک اکسید فلزی ارزان قیمت، غیرسمی است که می‌تواند به آسانی با پلیمرها مخلوط شود و خواص فیزیکی شیمیایی پایداری از خود بروز دهد. همچنین، خواص ضدمیکروبی فوق العاده‌ای در برابر میکروب، قارچ، جلبک و باکتری از خود نشان می‌دهد [۹ و ۱۰]. فرهاد زارعی و همکارانش [۱۱] نانوذرات ترکیبی کالت فریت مس (II) اکسید با روش رسوبدهی شیمیایی سنتز کردند و از آن برای ساخت غشای پلی‌اترسولفون در فرآیند نانوفیلتراسیون استفاده کردند. نتایج به دست آمده کاهش زاویه تماس و زبری غشاء و افزایش شار آب خالص از  $12 \text{ L/m}^2\cdot\text{h}$  به  $34/5 \text{ L/m}^2\cdot\text{h}$  را نشان داد. راندیپ سیق و همکارانش [۱۲] یک غشای اولترافیلتراسیون شبکه آمیخته پلی‌سولفون اصلاح شده با فتوکاتالیست مس (II) اکسید به روش وارونگی فاز ساختند. فتوکاتالیست مس (II) اکسید نیز از روش الکترودپوزیشن ساخته شده بود. برای آنالیز ضدگرفتگی غشاء از محلول آبی نفوذی آبومین سرم گاوی (BSA) و برای حذف آلاینده دارویی ایبوپروفن استفاده شد. براساس بررسی نتایج مشخص شد که شار و تخلخل و اندازه حفرات و آب‌دوستی غشاء بهبود یافته بود، به طوری که حذف دارویی ایبوپروفن به  $86\%$  رسید. زهای ایکسیو و همکارانش [۱۳] روش مؤثری برای ساخت غشای آنتی‌میکروبیال با خواص ضدباکتریایی خوب و پایدار ارائه کردند. آنها یک غشای پلی‌سولفون ترکیب شده با نانو سیمیهای نقره مس (I) اکسید با روش تغییر فاز تهیه کردند. با انجام تست‌های آنتی‌باکتریال گزارش کردند که غشاهای ترکیب شده دارای اثر آنتی‌باکتریال تقویت شده در برابر هردو اسچریچیا کولی<sup>۱</sup> و استافیلوکوکوس اورئوس<sup>۲</sup> دارد. نازنین نصرالهی و همکارانش [۱۴] تأثیر

طعام با افزودن سدیم هیدروکسید می‌باشد. در این روش، آندی از جنس مس با خلوص (۹۹/۹۹٪) و کاتد الکترودی از جنس استنلس استیل به ابعاد  $56 \times 50 \text{ mm}$  استفاده شد [۲۴]. واکنش در یک سلولکتولیتی در شرایط عملیاتی با دمای  $80^{\circ}\text{C}$  در ولتاژ ثابت ۷ pH به مدت زمان ۳۰ min صورت گرفت. رسوب تشکیل شده حاصل از الکترولیز و انحلال آندی مس، بعد از تهشیین برای از بین بردن یون کلرید چندین مرتبه با آب مقطر شست و شو شده و سپس در هوای اتاق خشک شد. برای جلوگیری از آلوده شدن محصول با مس فلزی از دیافراگم از جنس پلیپروپیلن در اطراف کاتد استفاده شد.

**ساخت غشاهاي نانوفيلتراسيون پلياترسولفون**  
غشاهاي نانوفيلتراسيون توسيط روش وارونگي فاز و غوطه‌وري در آب بدون یون ساخته شدند. برای ساخت غشاها با اين روش، محلول‌های پلимерی حاوی پلیاترسولفون به عنوان پلیمر بدنه، پلی‌وینیل پیرولیدن به عنوان حفره‌ساز، نانوذرات مس (I) اکسید در غلظت‌های مختلف به عنوان اصلاح‌کننده و دی‌متیل استامید به عنوان حلal به مدت ۵ h توسيط يك همزن مغناطيسي با سرعت ۳۰۰ rpm زده شدند تا مواد به طور كامل حل شده و محلول‌های يكتواختی حاصل شود. ترکيب درصد محلول‌های پلیمری تهیه شده در جدول ۱ آمده است.

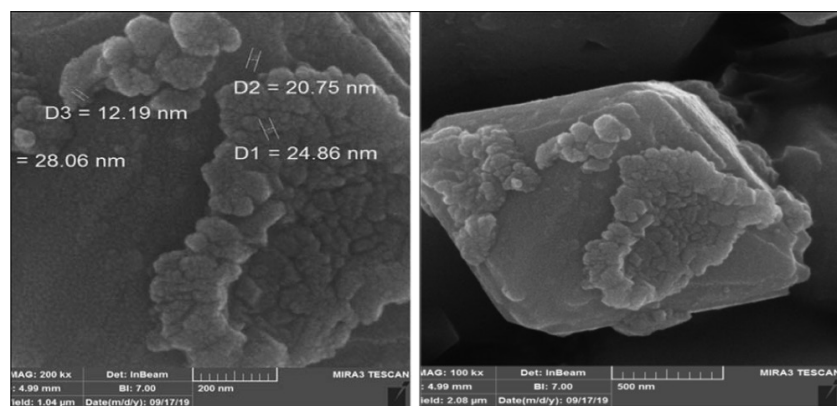
## مواد و روش انجام آزمایش‌ها

### مواد مورد استفاده

پلیاترسولفون (PES) تهیه شده از شرکت BASF به عنوان ماده تشکیل‌دهنده بدن غشاء با وزن ملکولی ۵۸۰۰۰ گرم بر مول، پلی‌وینیل پیرولیدن (PVP) (تهیه شده از Merck آلمان به عنوان حفره‌ساز با وزن مولکولی ۲۵۰۰۰ g/gmol) تولید شده توسط شرکت دی‌متیل استامید (DMAC) (تولید شده از شرکت Merck نیز به عنوان حلal پلیمر با وزن مولکولی ۸۷/۱۲ g/gmol) یون به عنوان حمام غیرحلال در آزمایشات مورد استفاده قرار گرفتند. از نانوذرات مس (I) اکسید  $(\text{Cu}_2\text{O})$  (شکل ۱)، که با روش الکتروشیمیایی سنتز شدند به عنوان اصلاح‌کننده سطح غشاء مورد استفاده قرار گرفت. از کلرید منیزیم ( $\text{MgCl}_2$ ) (ساخت شرکت Merck) برای بررسی عملکرد غشاها استفاده شد.

### سنتز نانوذرات

پس از مطالعه و تحقیق در زمینه تولید مس (I) اکسید با یک روش بهینه سرانجام این نتیجه حاصل شد که روش الکتروشیمیایی به دلیل مراحل کوتاه تولیدی، راهبری آسان‌تر، تولید در مقیاس بالاتر، کیفیت بالاتر، مقرر به صرفه بودن و کنترل شرایط عملیاتی آسان‌تر برای تولید در مقیاس انبوه در بین روش‌های دیگر مناسب‌تر است [۱۸-۲۳]. روش الکتروشیمیایی بر پایه الکترولیز محلول آبی نمک



شکل ۱ آنالیز FESEM نانوذرات سنتز شده مس (I) اکسید

جدول ۱ مشخصات ترکیب درصد محلول‌های پلیمری غشاها ساخته شده

شماره غشاء	پلی اترسولفون (%.wt)	پلی وینیل پیرولیدن (%.wt)	نانو ذره مس (I) اکسید (%.wt)	دی متیل استامید (%.wt)
M0	۱۸	۱	۰/۰۰	۸۱/۰۰
M1	۱۸	۱	۰/۰۵	۸۰/۹۵
M2	۱۸	۱	۰/۱۰	۸۰/۹۰
M3	۱۸	۱	۰/۵۰	۸۰/۵۰
M4	۱۸	۱	۱/۰۰	۸۰/۰۰
M5	۱۸	۱	۲/۰۰	۷۹/۰۰

در رابطه ۱،  $V_m$ ،  $W_d$ ،  $f_p$  به ترتیب وزن غشاء خیس و خشک بر حسب گرم، حجم غشاء (نماد واحد) و دانسیته آب (نماد واحد) می‌باشد. جهت اندازه‌گیری وزن خیس و خشک غشاها، ابتدا نمونه‌های غشاها به مدت ۲۴ h در داخل آب بدون یون قرار داده شدند. سپس وزن آن‌ها با ترازو اندازه گرفته شد. پس از آن غشاها درون آون به مدت ۸ h با دمای ۵۰ °C قرار دادیم تا به طور کامل خشک شوند و وزن آن‌ها نیز اندازه گرفته شود [۲۵-۲۷].

$$r_m \equiv \sqrt{\frac{(2.9 - 1.75\epsilon)8\eta LQ}{\epsilon A \Delta p}} \quad (2)$$

۴ تخلخل غشاء،  $\eta$  ویسکوزیته آب ( $Pa.s$ )،  $L$  ضخامت غشاء بر حسب  $m$  حجم شار آب خالص خروجی از غشاء بر حسب  $m^3/s$  است.  $A$  سطح مقطع غشاء بر حسب  $m^2$  و  $\Delta p$  فشار عملیاتی ( $MPa$ ) می‌باشد [۲۸].

#### شار و عملکرد جداسازی غشاء

عملکرد غشاها ساخته شده توسط یک سل فیلتراسیونی ته بسته<sup>۱</sup> مانند شکل ۲ با مساحت سطح مؤثر  $11/۹۴ cm^2$  اندازه گیری شد. یک همزن الکتریکی درون سیستم جهت کاهش اثر پلاریزاسیون غلظتی و عدم تشکیل کیک بر روی سطح غشاء به کار گرفته شد. همچنین، یک مخزن گاز نیتروژن به عنوان تأمین کننده نیروی حرکه جهت انتقال جرم با یک شیر تنظیم‌کننده فشار خروجی نیز مورد استفاده قرار گرفت.

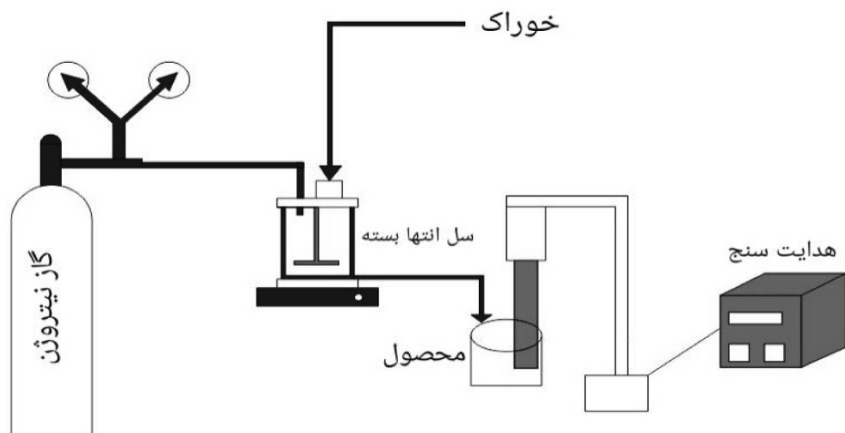
۱. Dead-end Cell

سپس جهت پراکندگی بهتر نانوذرات محلول‌ها به مدت ۴۰ min درون دستگاه اولتراسونیک قرار گرفتند. دستگاه اولتراسونیک منجر به پراکندگی یکنواخت نانوذرات و مانع تشکیل پدیده کلوخگی و تجمع نانوذرات در محلول‌های فوق می‌شود. برای خروج حباب‌های هوا از داخل محلول به مدت ۱۲ h در دمای اتانس نگهداری شدند. در مرحله بعد، محلول‌های یکنواخت حاوی نانوذرات توسط یک فیلم‌کش دستی (ضخامت  $30 \mu m$ ، ساخت ایران) روی یک صفحه شیشه‌ای تمیز و خشک با سرعت یکسان و پیوسته پخش کرده و سپس بلا فاصله به یک حمام آب بدون یون در دمای انتقال و غوطه‌ور شدند. در این مرحله، حلal دی‌متیل استامید توسط آب به عنوان غیرحلال خارج می‌شود و این عمل باعث شکل‌گیری غشاء می‌گردد. سپس غشاها با آب بدون یون شسته شده و برای اطمینان از خارج شدن حلal و مواد محلول در آب به مدت ۲۴ h در داخل ظرف حاوی آب بدون یون قرار گرفتند. غشاها ساخته شده بین دو صفحه کاغذ صافی به مدت ۲۴ h در هوای اتانس قرار داده شدند تا به طور کامل خشک شوند.

#### ارزیابی غشاها و نانوذرات

جهت شناسایی گروههای عاملی موجود در غشاء و نانوذره مس (I) اکسید، طیف‌سنجی مادون قرمز تبدیل فوریه با دستگاه اسپکترومتر انجام شد. از رابطه ۱ برای محاسبه درصد تخلخل و از رابطه ۲ برای محاسبه مقدار اندازه حفرات استفاده شد:

$$\epsilon(\%) \equiv \frac{W_w - W_d}{\rho_f V_m} \times 100 \quad (1)$$



شکل ۲ شماتیک سیستم فیلتراسیون غشایی

است. آنالیز طیفسنجی مادون قرمز در محدوده  $400-4000 \text{ cm}^{-1}$  انجام گرفت. پیک‌های مشخص شده در محدوده  $500-600 \text{ cm}^{-1}$  مربوط به ارتعاشات اکسید فلزی است [۳۳ و ۳۴]. همچنین، باندهای مشخص شده در  $828/07$  و  $621/35 \text{ cm}^{-1}$  مربوط به ارتعاشات کششی  $\text{O}-\text{Cu}$  و  $\text{Cu}-\text{O}-\text{Cu}$  است [۱۲ و ۱۳]. باندهای مشخص شده در  $1166/67 \text{ cm}^{-1}$  مربوط به کشش متقارن در گروه  $\text{S}=\text{O}$  است [۳۵]. برای کشش غیرمتقارن در گروه  $\text{S}=\text{O}$  است  $1487/15 - 1579/68 \text{ cm}^{-1}$ . پیک گسترده در محدوده  $30.96/35 - 30.68/77 \text{ cm}^{-1}$  مربوط به حلقه بنزنی در غشای پلی اترسولفونی است [۳۶]. نانوذرات و غشاء پیک‌های جذب گسترده‌ای در محدوده  $1229/75 \text{ cm}^{-1}$  دارند که به گروه‌های عاملی هیدروکسیل گروه کششی  $\text{O}-\text{H}$  تعلق دارد که می‌تواند به دلیل ترکیب نانوذرات در ساختار غشاء باشد. در شکل ۴ تصاویر میکروسکوپ الکترونی روبشی به منظور بررسی مورفولوژی و پراکنده‌گی نانوذرات، گرفته شد. بر طبق تصاویر نمونه‌های غشایی شامل یک ساختار نامتقارن با یک لایه بالایی جداساز متراکم و یک زیرلایه نگهدارنده متخلخل هستند [۳۷]. براساس نتایج آنالیز طیفسنجی مادون قرمز، نانوذره مس (I) اکسید به دلیل وجود اکسیژن در ساختار خود جزء نانو-ذرات آب‌دوست هستند.

در ابتدا غشاهای را به صورت دایره‌ای شکل با قطری برابر قطر خارجی مازول برش زده و به صورتی درون غشاء قرار می‌دهیم که سطح جداساز در تماس با خوراک ورودی قرار گیرد. غشاهای به مدت  $15 \text{ min}$  با فشار  $5 \text{ bar}$  تحت عمل فشرده‌سازی قرار گرفتند. سپس، فشار عملیاتی برای فرآیندهای جداسازی به میزان  $4/5 \text{ bar}$  تغییر داده شد. شار آب خالص از رابطه ۳ محاسبه شد:

$$J_{w,1} \equiv \frac{V}{A \times t} \quad (3)$$

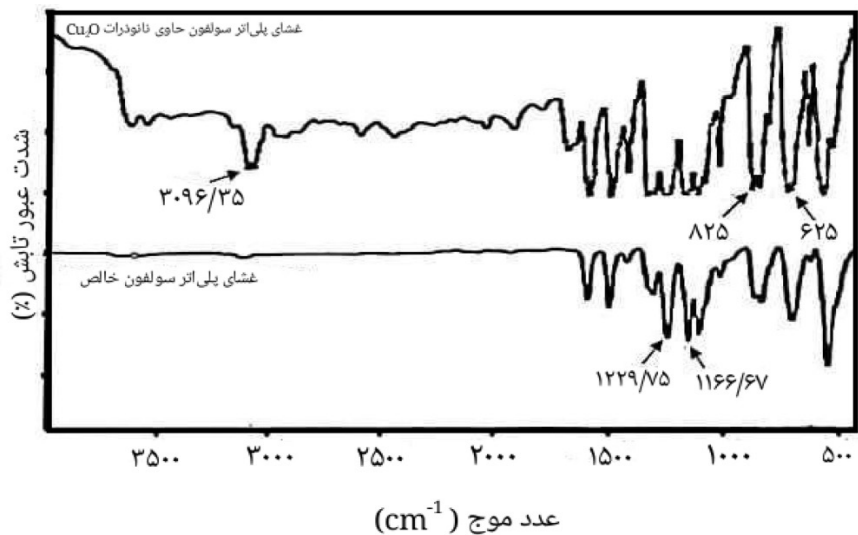
در رابطه فوق  $A$  و  $t$  به ترتیب شار ماده عبوری از غشاء بر حسب  $\text{m}^2$ ، مساحت سطح مقطع غشاء بر حسب  $\text{m}^2$ ، زمان جداسازی بر حسب  $\text{h}$  است. رابطه ۴ برای اندازه‌گیری میزان جداسازی استفاده شد [۳۲-۳۹]:

$$\text{Rejection (\%)} \equiv \frac{C_f - C_p}{C_f} \times 100 \quad (4)$$

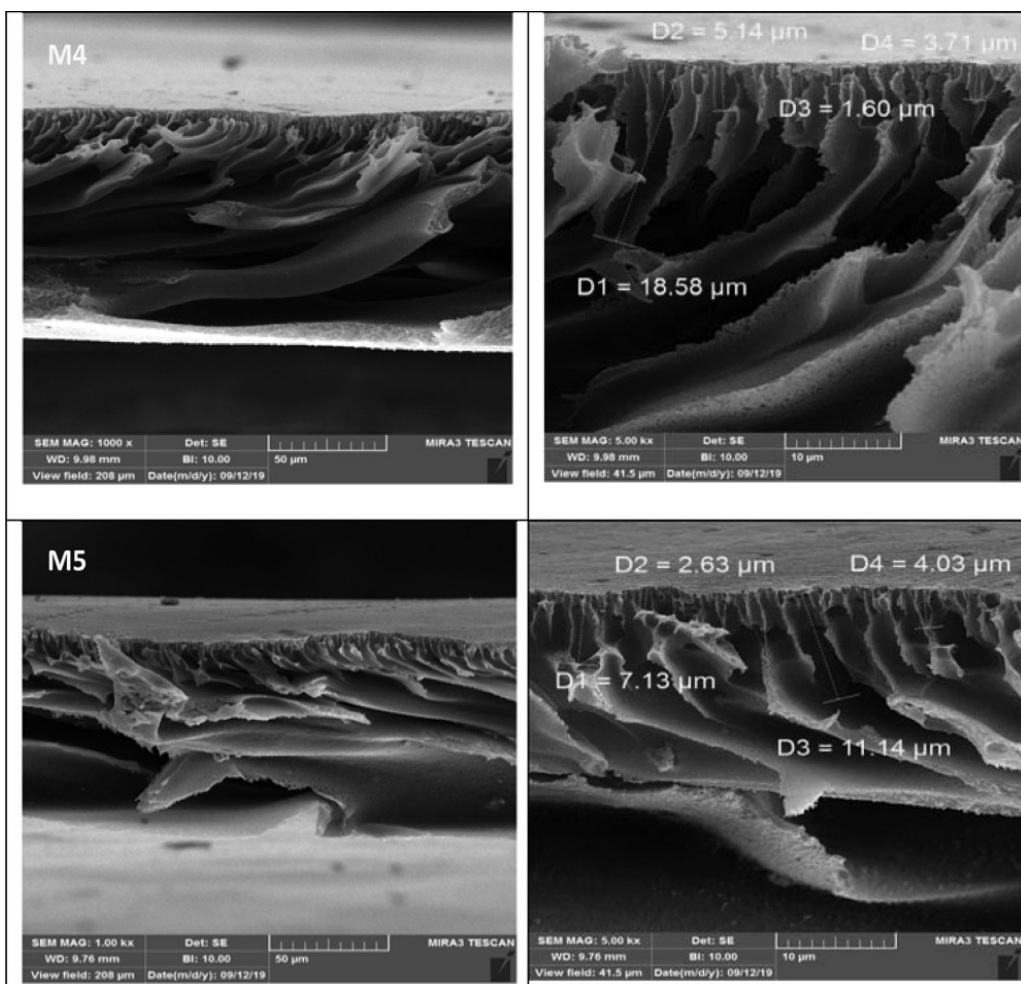
$C_f$  غلظت یون‌ها در خوراک و  $C_p$  غلظت محلول عبوری از غشاء است. محلول کلرید منیزیم با غلظت  $0.005 \text{ g/L}$  به عنوان محلول خوراک برای بررسی عملکرد غشاهای تهیه شده استفاده شد.

## بحث و نتایج مشخصات غشاء

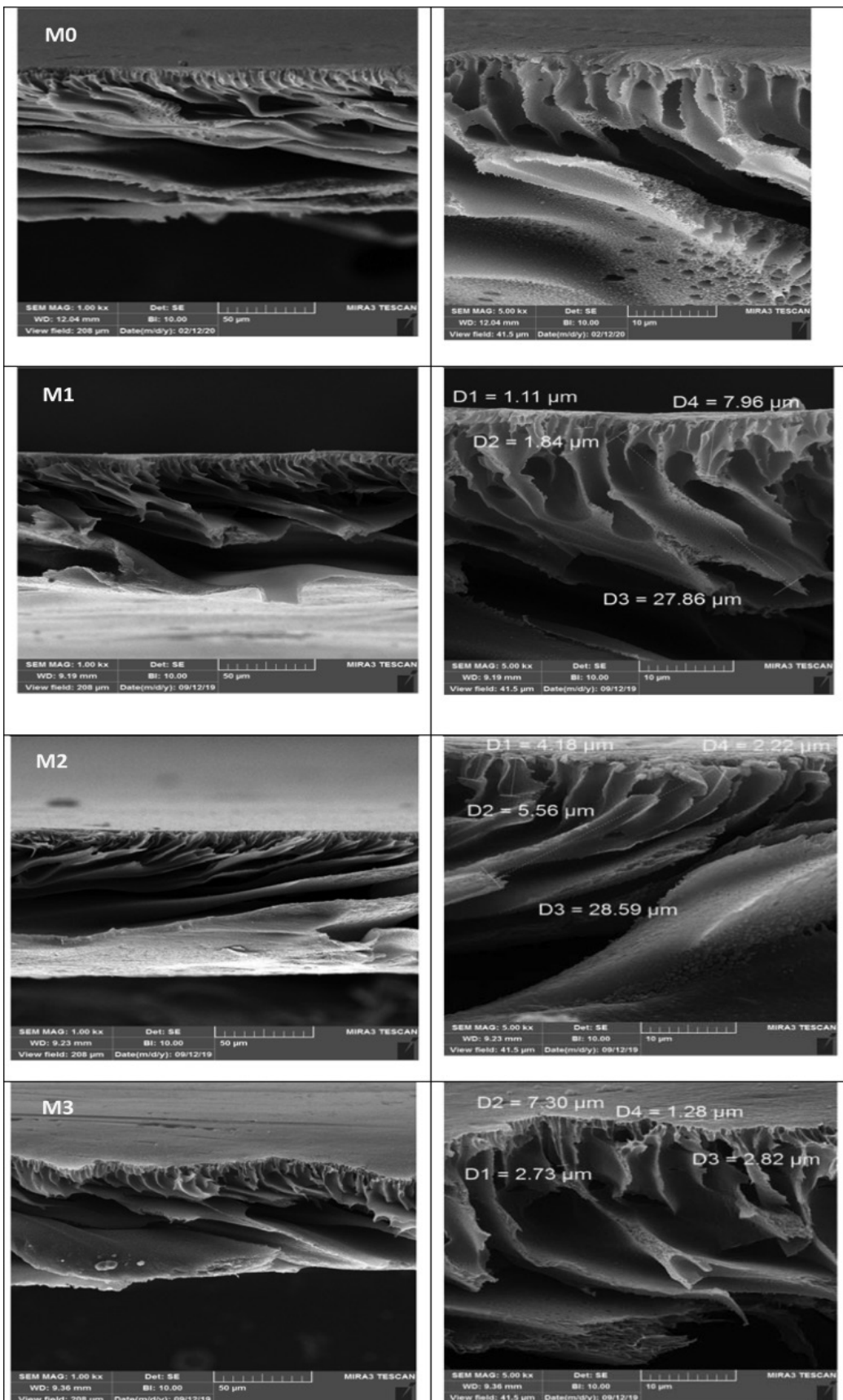
نتایج آنالیز طیفسنجی مادون قرمز برای غشاهای ساخته شده در شکل ۳ نشان داده شده



شکل ۳ از غشاء پلی اترسولفون خالص و حاوی نانوذرات مس (I) اکسید



شکل ۴ ادامه در صفحه بعد



شکل ۴ آنالیز FESEM از مقطع عرضی غشاها ساخته شده خالص (M0) و غشاها محتوی (M1)، (M2)، (M3) و (M4) درصد وزنی نانوذرات مس (I) اکسید

## پژوهش نفت شماره ۱۲۵، مهر و آبان ۱۴۰۱، صفحه ۷۷-۹۰

شده و می‌تواند باعث ایجاد پدیده پرشدن حفرات گردد. در نتیجه می‌تواند اثر منفی بر شار عبوری از غشاء بگذارد که این علت کاهش شار در غشاها می‌باشد [۴۱ و ۴۲]. کاهش تخلخل در غشاها M 4 و M 5 می‌تواند به دلیل انباست نانوذرات و پراکندگی کم آن‌ها در غلظت‌های بالا باشد [۲۸].

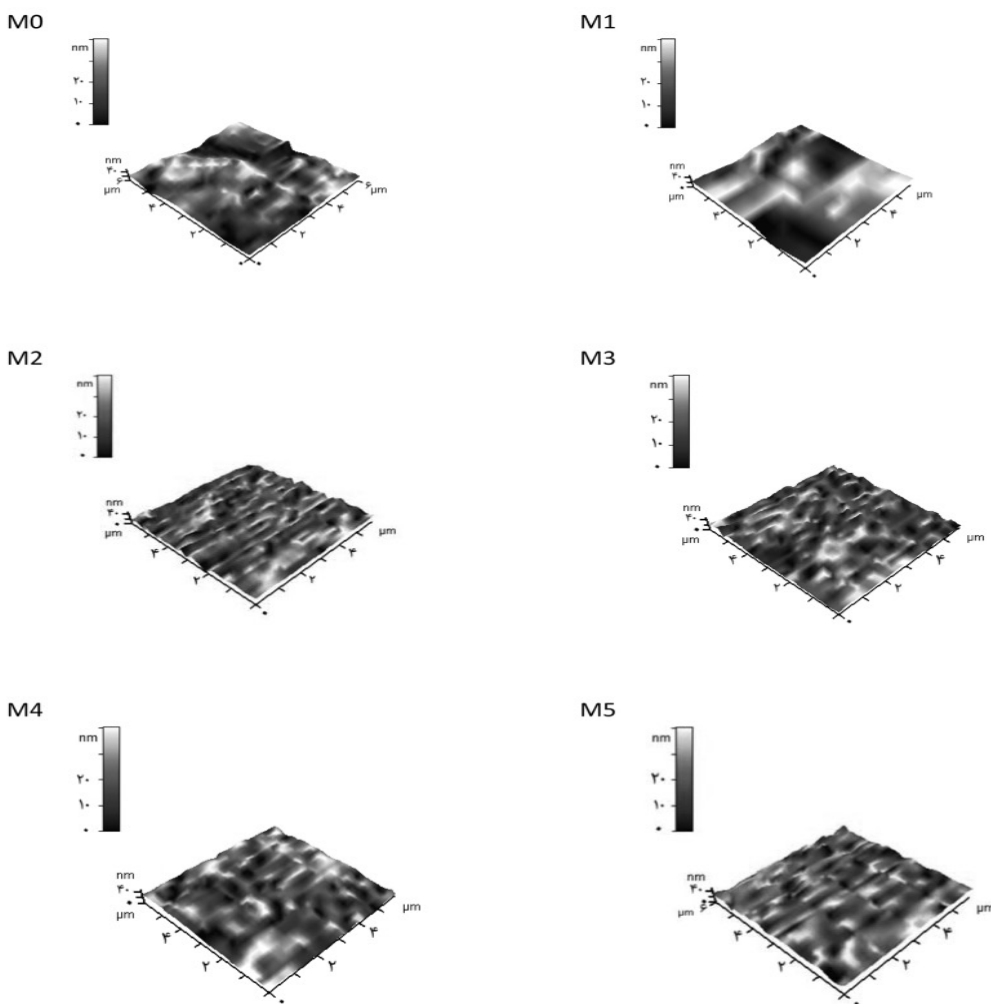
### زبری سطح غشاها ساخته شده

برای بررسی بیشتر مورفولوژی سطح، از غشاها آنالیز زبری سطح با استفاده از تصاویر سه بعدی سطح انجام گرفت که در **شکل ۵** نشان داده شده‌اند. پارامترهای زبری از جمله میانگین زبری (R<sub>a</sub>) و میانگین مربعات ریشه (R<sub>q</sub>) غشاها و ماکزیمم زبری (R<sub>max</sub>) اندازه‌گیری شد که در **جدول ۲** ارائه شده است. هرچه سطح غشا صاف‌تر باشد غشا آب‌دوست‌تر است اما هرچه سطح غشا زبرتر باشد تمایل بیشتری به رسوب ذرات موجود در خوراک دارد که در پستی و بلندی‌های موجود در سطح تجمع کرده و باعث ایجاد گرفتگی در سطح غشا می‌شوند و میزان شار عبوری را کاهش می‌دهند [۱ و ۱۱]. همان‌گونه که در **شکل ۵** مشاهده می‌شود با افزودن نانوذرات در ساختار غشا میزان زبری سطح کاهش یافته و سطح غشاها حاوی نانوذرات M1 نسبت به غشای خالص صاف‌تر شده است. در M2 با ۰/۰۵٪ وزنی نانوذرات، میزان زبری سطح غشا کاهش یافته است بنابراین، غشا آب‌دوست‌تر شده است. در M3 با ۱٪ وزنی میزان زبری به مقدار کمی افزایش یافته که می‌تواند به دلیل وجود نانوذرات در سطح و حرکت و تجمع آن‌ها در حین فرآیند تغییر فاز باشد. در M4 می‌توان گفت توزیع یکنواخت نانوذرات در سطح به گونه‌ای است که نانوذرات حفره‌های سطح را پر کرده و سطح را صاف‌تر کرده‌اند [۱۱]. زبری سطح در M5 مجدداً افزایش می‌یابد. در نمونه‌های غشایی که غلظت نانوذرات در آن‌ها بالا است.

1. Sponge-like

2. Finger-like

با حضور این نانوذرات در ساختار غشایی در حین فرآیند ساخت غشاء، میزان نفوذ جریان غیرحلال در فیلم پلیمری و خروج حلال افزایش می‌یابد. از این‌رو، باعث افزایش سرعت جدایش فازی می‌گردد. در نتیجه، حلال با سرعت بیشتری از فیلم پلیمری خارج می‌شود و زمان جدایش فازی محلول قالب‌گیری شده در داخل حمام آب، به شدت کاهش می‌یابد که اصطلاحاً به آن جدایش فازی آنی می‌گویند. سپس با خروج سریع حلال، لایه فعال بالایی غشاء به سرعت شکل می‌گیرد و منجر به یک مقاومت اضافی در برابر انتقال جرم می‌گردد و به دنبال آن زمان تبادل بین حلال و غیرحلال در زیرلایه غشاء افزایش می‌یابد و به همین دلیل، حفرات در زیرلایه از حالت اسفنجی<sup>۱</sup> به ساختار انگشتی<sup>۲</sup> تبدیل می‌شوند [۳۸ و ۳۹]. علاوه‌بر این، این امر باعث ایجاد حفرات در ساختار غشاء و در نتیجه افزایش تخلخل می‌شود [۴۰]. به‌طور کلی، افزودن نانوذرات باعث افزایش تخلخل و همچنین تغییر در شکل و اندازه حفرات لایه نگهدارنده شده است. با توجه به **شکل ۴** با افزودن نانوذرات حفرات بزرگ‌تر و طویل‌تری در ساختار غشاء پدید آمده‌اند. همچنین حفرات در لایه جداساز تا غشای M 3 نسبت به غشای خالص بزرگ‌تر شده‌اند. با افزایش غلظت نانوذرات در غشاها M 4 و M 5 اندازه حفرات کاهش یافته است که می‌تواند به علت تجمع و کلوخگی‌هایی باشد که بر روی سطح غشاء اتفاق می‌افتد، که این امر می‌تواند ناشی از عدم پراکندگی یکنواخت نانوذرات در محلول پلیمری در هنگام قرار گرفتن در حمام اولتراسونیک باشد. همچنین، غلظت بالای نانوذرات منجر به افزایش فعل و افعالات آن‌ها می‌شود در نتیجه نانوذرات به صورت یکنواخت پخش نشده و تجمع پیدا می‌کنند یا دلیل دیگر آن می‌تواند حرکت نانوذره‌ها به سمت سطح غشاء در حین فرآیند تغییر فاز باشد زیرا مقادیر اضافی از نانوذرات منجر به کاهش مسیر عبور آب و نمک



شکل ۵ عکس‌های میکروسکوپ نیروی اتمی از سطح غشاها خالص و حاوی غلظت‌های مختلفی از نانوذرات مس (I) اکسید.

جدول ۲ مقدار پارامترهای زیری غشاها ساخته شده.

$R_{\max}$ (nm)	$R_q$ (nm)	$R_a$ (nm)	شماره غشا
۲۳/۸	۵/۵۹	۴/۶۲	M0
۱۶/۹	۵/۰۷	۴/۲۶	M1
۲۷/۱۶	۳/۷۷	۴/۴۸	M2
۱۸/۴۶	۴/۵۴	۳/۷۸	M3
۱۳/۶۱	۳/۰۲	۲/۳۵	M4
۲۰/۷۱	۴/۰۵	۳/۰۲	M5

باشد.

#### عملکرد فیلتراسیون غشاها

عملکرد فیلتراسیون غشاها وابسته به ساختار و آب‌دostی غشاها است. **جدول ۳** نشان‌دهنده روند تغییرات شار آب خالص عبوری از غشا می‌باشد.

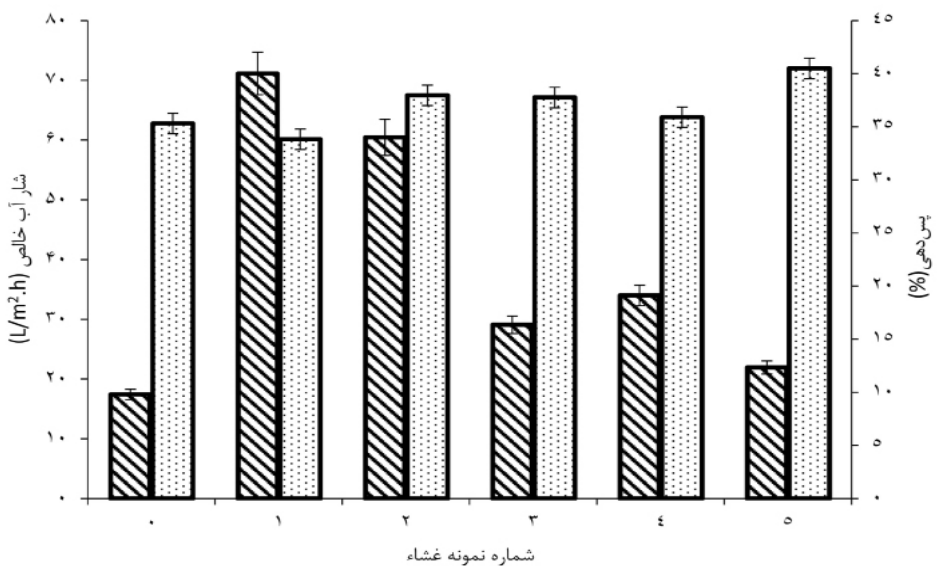
همان‌طور که گفته شد در هنگام فرآیند تغییر فاز، مقدار زیادی از نانوذرات به سمت سطح غشا حرکت کرده و در آنجا تجمع می‌کنند. به همین علت افزایش زیری سطح در M5 می‌تواند ناشی از کلوخگی و تجمع و انباست ذرات روی سطح غشا

جدول ۳ نتایج شار آب خالص غشاها ساخته شده.

شماره غشاء	M0	M1	M2	M3	M4	M5
شار آب خالص (نماد واحد)	۹/۸	۳۶/۷۸	۲۹/۴۹	۱۳/۷	۱۴/۶۱	۱۱/۷۵

M1 و بیشترین میزان پسدهی برای محلول نمکی مربوط به غشای M5 می‌باشد که می‌تواند به دلیل تشکیل کanal‌های بهم پیوسته و شار آب خالص کمتر باشد. میزان شار عبوری محلول  $MgCl_2$  از  $MgCl_2$  از  $62/78$  به  $14/60\%$  برای غشای M1 نسبت به غشای خالص کاهش یافته است. این تغییرات به دلیل افزایش سایز حفرات است که منجر به افزایش شار و کاهش پسدهی می‌شود. میزان شار با افزایش غلظت نانوذرات کاهش یافته است که می‌تواند به علت کلوخگی و گرفتگی احتمالی غشاها با پرشدن حفرات توسط نانوذرات باشد. افزایش پسدهی در غلظت‌های بالا نانوذرات می‌تواند به دلیل زیر باشد: کاهش میانگین اندازه حفرات و اثر دونان بین یون‌ها با بار همنام با توجه به برهم‌کنش بین نانوذرات و غشاء. مس (I) اکسید با داشتن بارهای منفی ناشی از گروه عاملی هیدروکسیل باعث دفع یون‌های دوظرفیتی سولفات و تک‌ظرفیتی کلرید می‌شود. بنابراین، دافعه الکترواستاتیکی بین بارهای همنام منفی از سطح غشاء و یون کلرید ( $Cl^-$ ) یکی از مهم‌ترین دلایل جداسازی است [۳۷]. پس با افزایش غلظت مس (I) اکسید، بار منفی سطح غشاء افزایش یافته و میزان جداسازی و دفع الکترواستاتیکی یون‌های سولفات و کلرید افزایش می‌باید [۴۷]. به طور کلی، همه غشاها تهیه شده به جز M1 دارای پسدهی نمک بالاتری نسبت به غشای پلی‌اترسولفون خالص هستند و این به دلیل بار منفی سطح غشاء است. میزان بالای شار عبوری در غشاها M1 و M2 به علت افزایش سایز حفرات آن‌ها است [۴۲]. به طور کلی، اثر دونان و سازوکار جذب دو عامل مهم برای پسدهی محلول‌ها است.

همان‌گونه که مشخص است میزان شار آب خالص غشاها حاوی نانوذرات نسبت به غشای خالص افزایش یافته که می‌توان گفت با افزودن نانوذرات میزان آب‌دوستی غشاء افزایش یافته که این سبب جذب آب و افزایش انرژی برهم‌کنش بین آب و غشاء و بهبود ترشوندگی می‌شود. همچنین، میزان تخلخل غشاء نیز با افزایش غلظت نانوذرات افزایش یافت و به مقدار  $(78/54\%)$  رسید در حالی که مقدار آن  $52\%$  برای غشای خالص بود [۴۳]. همچنین، تشکیل کanal‌های طویل و بزرگ نیز عامل دیگر بهبود شار آب خالص است [۴۴]. اما با افزایش غلظت نانوذرات میزان شار عبوری از غشاها کاهش یافته که می‌تواند به علت انسداد حفرات موجود در سطح غشاء در نتیجه پراکنده شدن نامناسب نانوذرات در سطح غشاء و کاهش سایز حفرات موجود در سطح غشاء باشد. دلیل دیگر نیز ممکن است گرفتگی حفرات توسط انباشت و کلوخگی نانوذرات روی سطح غشاء و در ساختمان غشایی باشد که در این شرایط سطح فعال نانوذرات کاهش می‌باید [۴۵] و [۴۶]. در این شرایط کanal‌های انتقال مسدود شده و شار آب خالص را کاهش می‌دهد. همان‌طور که مشخص است. بیشترین شار عبوری آب خالص به مقدار  $36/78$  و  $29/46 L/m^2.h$  مربوط به غشاها ساخته شده M1 و M2 است، که به ترتیب دارای  $6/03 \times 10^{-9}$  و  $8/37 \times 10^{-9} m$  هستند، که در مقایسه با سایر غشاها ساخته شده توسط دیگران بهبود شار را به دنبال داشته است. شار عبوری و پسدهی نمک از مهم‌ترین ویژگی‌ها در تعیین عملکرد غشاها هستند. نتایج شار عبوری و پسدهی محلول نمکی  $MgCl_2$  در شکل ۶ گزارش شده است. نتایج نشان می‌دهد کمترین میزان پسدهی نمک‌ها مربوط به غشای

شکل ۶ شار عبوری و پس‌دهی محلول نمک  $\text{MgCl}_2$ .

غشاء باعث توانایی بالاتر برای جذب یون‌ها مثبت و برخورد بیشتر یون‌های آب‌پوشی شده روی سطح غشاء می‌شود [۴۹ و ۴۸]. بنابراین افزایش اندازه حفرات، تخلخل و شار آب خالص بهبود یافته برای M1 ممکن است منجر به کاهش پس‌دهی یون‌های  $\text{Mg}^{2+}$  شده باشد [۵۰-۵۲]. مقایسه عملکرد جداسازی در این مطالعه با دیگر مقالات چاپ شده در **جدول ۴** نشان می‌دهد که با توجه به فشار عملیاتی و مقدار نانوذرات استفاده شده، میزان فلاکس مناسبی از غشاها محتوی نانوذرات اکسید مس تک ظرفیتی به دست می‌آید.

گروههای هیدروکسیل با بار منفی روی سطح غشاء یون‌های تک‌ظرفیتی کلرید را دفع می‌کند و پس‌دهی یون‌های  $\text{Mg}^{2+}$  را افزایش می‌دهند. غشای M5 بیشترین پس‌دهی و کمترین شار آب خالص را به دلیل کانال‌های بهم پیوسته و طوبیل با توجه به تصاویر SEM ارائه کرده است. با افزایش غلظت نانوذرات میزان پس‌دهی افزایش پیدا کرده است که می‌تواند به علت حضور نانوذرات روی سطح غشاء در هنگام تغییر فاز و افزایش ضخامت لایه فعال باشد که مقاومت غشاء در برابر انتقال یون افزایش می‌دهد. علاوه بر این، بارهای منفی آبدوست نانوذرات و افزایش رطوبت‌پذیری سطح

جدول ۴ مقایسه نتایج حاصل از این مطالعه با مقالات چاپ شده دیگر.

غشا	نانوذره	درصد وزنی نانوذره	فشار (bar)	فلaks (L/m²h)	رفنس
پلی‌اترسولفون	گرافن اکساید	۰/۵	۵	۱۳/۹	[۵۱]
پلی‌اترسولفون	گرافن اکساید	۰/۰۷	۲۰	۹۹/۷	[۵۲]
پلی‌اترسولفون	rGO/TiO <sub>2</sub>	۰/۱۵	۵	۴۵	[۵۳]
پلی‌اترسولفون	کربن نانوفایبر/کیتوسان	۰/۵	۵	۱۳/۵۸	[۵۴]
پلی‌اترسولفون	Fe <sub>3</sub> O <sub>4</sub> /PVP	۰/۵	۴/۵	۹/۹۶	[۵۵]
پلی‌اترسولفون	فریت کبالت/کربن اکتیو	۰/۱	۵	۱۳/۲	[۵۶]
مطالعه حاضر	اکسید مس تک‌ظرفیتی	۰/۰۵	۴/۵	۳۶/۷۸	-

## نتیجه‌گیری

دارای ۰/۰۵٪ وزنی نانوذره مس (I) اکسید و بالاترین پس‌دهی نمک توسط غشای M5 که دارای ۲٪ وزنی نانوذره مس (I) اکسید است، به دست آمد. شار آب خالص به دلیل وجود گروه‌های آب‌دوسیت و افزایش اندازه متوسط حفرات و تخلخل، افزایش یافت. همچنین افزایش پس‌دهی می‌تواند مربوط به ایجاد بیشتر سایتها فعال جذب کلرید منیزیم وجود بار منفی برای دفع  $\text{Cl}^-$  باشد.

غشاها نانوفیلتراسیون بر پایه پلی‌اترسولفون با استفاده از روش وارونگی فاز ساخته شدند و غلظت مختلفی از نانوذرات مس (I) اکسید که با روش الکتروشیمیایی سنتز شده بودند، در ساختار غشاء قرار گرفتند. حضور گروه‌های آب‌دوسیت نانوذرات باعث افزایش قابل توجهی در شار آب خالص شد. بیشترین شار آب خالص توسط غشای M1 که

## مراجع

- [1]. Bandehali S, Parvizian F, Ruan H, Moghadassi A, Shen J, Figoli A, Adeleye A S, Hilal N, Matsuura T, Drioli E (2021) A planned review on designing of high-performance nanocomposite nanofiltration membranes for pollutants removal from water, *Journal of Industrial and Engineering Chemistry*, 78-125.
- [2]. Van der Bruggen B, Vandecasteele C (2003) Removal of pollutants from surface water and groundwater by nanofiltration: overview of possible applications in the drinking water industry, *Environmental pollution*, 435-445.
- [3]. Yaser A Z (2011) Development of integrated nanofiltration system for highly concentrated dye removal, Doctoral dissertation, Swansea University, 1-79.
- [4]. Staude E (1992) Marcel mulder: basic principles of membrane technology, kluwer Academic Publishers, Dordrecht, Boston, London, 96: 741-742.
- [5]. Mulder J (2012) Basic principles of membrane technology, Springer Science and Business Media.
- [6]. García A, Rodríguez B, Oztürk D, Rosales M, Diaz D, Mautner A (2018) Incorporation of CuO nanoparticles into thin-film composite reverse osmosis membranes (TFC-RO) for antibiofouling properties, *Polymer Bulletin*, 75: 2053-2069.
- [7]. Hosseini S, Afshari M, Fazlali A, Farahani S K, Bandehali S, Van der Bruggen B, Bagheripour E (2019) Mixed matrix PES-based nanofiltration membrane decorated by ( $\text{Fe}_3\text{O}_4$ -polyvinylpyrrolidone) composite nanoparticles with intensified antifouling and separation characteristics, *Chemical Engineering Research Design*, 147: 390-398.
- [8]. Hwang J, Ejsmont A, Freund R, Goscińska J, Schmidt B V, Wuttke S (2020) Controlling the morphology of metal-organic frameworks and porous carbon materials: Metal oxides as primary architecture-directing agents, *Chemical Society Reviews*, 3348-3422.
- [9]. Hashmi M, Ullah S, Kim I S (2019) Copper oxide (CuO) loaded polyacrylonitrile (PAN) nanofiber membranes for antimicrobial breath mask applications, *Current Research in Biotechnology*, 1-10.
- [10]. Zhou H, Kang L, Zhou M, Zhong Z, Xing W (2018) Membrane enhanced COD degradation of pulp wastewater using  $\text{Cu}_2\text{O}/\text{H}_2\text{O}_2$  heterogeneous Fenton process, *Chinese Journal of Chemical Engineering*, 26, 9: 1896-1903.
- [11]. Zareei F, Hosseini S M (2019) A new type of polyethersulfone based composite nanofiltration membrane decorated by cobalt ferrite-copper oxide nanoparticles with enhanced performance and antifouling property, *Separation Purification Technology*, 226: 48-58.
- [12]. Singh R, Yadav V, Purkait M K (2019) Cu<sub>2</sub>O photocatalyst modified antifouling polysulfone mixed matrix membrane for ultrafiltration of protein and visible light driven photocatalytic pharmaceutical removal, *Separation Purification Technology*, 212: 191-204.
- [13]. Xu Z, Ye S, Zhang G, Li W, Gao C, Shen C, Meng Q (2016) Antimicrobial polysulfone blended ultrafiltration membranes prepared with Ag/Cu<sub>2</sub>O hybrid nanowires, *Journal of Membrane Science*, 509: 83-93.
- [14]. Nasrollahi N, Vatanpour V, Aber S, Mahmoodi N M (2018) Preparation and characterization of a novel polyethersulfone (PES) ultrafiltration membrane modified with a CuO/ZnO nanocomposite to improve permeability and antifouling properties, *Separation and Purification Technology* 192: 369-382.
- [15]. Yang H, Ouyang J, Tang A, Xiao Y, Li X, Dong X, Yu Y (2006) Electrochemical synthesis and photocatalytic property of cuprous oxide nanoparticles, *Materials Research Bulletin*, 1310-1318.
- [16]. Valodkar M, Pal A, Thakore S (2011) Synthesis and characterization of cuprous oxide dendrites: New simplified green hydrothermal route, *Alloys Compounds*, 523-528.

- [17]. Khattar H K, Al-Hasnawi S W R, Al-Saady F A (2015) Electrolytic prepa-ration and characterization of cuprous oxide nano powder, International Journal of Electrical Computer Sciences IJECS-IJENS, 6-12.
- [18]. Sachin S S, Ashok D B, Chandrashekhar M M (2016) Synthesis of cuprous oxide ( $Cu_2O$ ) nanoparticles—a review, Journal Of Nano- And Electronic Physics, 8, (8, № 1): 01035-1-01035-5.
- [19]. Saeednia S, Iranmanesh P, Hatefi A M, Sinaei S (2015) Synthesis of cuprous oxide by thermal treatment in liquid paraffin. nanostructures, 5, 3: 297-303.
- [20]. Ji J, Cooper W (1990) Electrochemical preparation of cuprous oxide powder: Part I. Basic electrochemistry, Journal of Applied Electrochemistry, 20, 5: 818-825.
- [21]. Zhang N, Du Y L, Zhang Y, Wang C M (2011) A simple method for controlling the type of cuprous oxide semiconductors using different surfactants, Journal of Materials Chemistry, 21, 14: 5408-5413.
- [22]. Valodkar M, Pal A, Thakore S (2011) Synthesis and characterization of cuprous oxide dendrites: New simplified green hydrothermal route, Alloys Compounds, 509, 2: 523-528.
- [23]. Sandhya S U, Nityananda S A (2013) A facile one step solution route to synthesize cuprous oxide nanofluid, NanomaterialsNanotechnology, 3: 5.
- [24]. Ji J, Cooper W C (1990) Electrochemical preparation of cuprous oxid powder: Part II. Process conditions, Journal of Applied Electrochemistry, 20, 5: 826-834.
- [25]. Hwang G J, Ohya H, Nagai T (1999) Ion exchange membrane based on block copolymers, Part III: preparation of cation exchange membrane, Membrane Science, 156, 1: 61-65.
- [26]. Khan J, Tripathi B P, Saxena A, Shahi V K (2007) Electrochemical membrane reactor: In situ separation and recovery of chromic acid and metal ions, *Electrochimica Acta*, 52, 24: 6719-6727.
- [27]. Ghaemi N, Madaeni S S, Daraei P, Rajabi H, Shojaeimehr T, Rahimpour F, Shirvani B (2015) PES mixed matrix nanofiltration membrane embedded with polymer wrapped MWCNT: Fabrication and performance optimization in dye removal by RSM, Journal of Hazardous Materials, 298: 111-121.
- [28]. Safarpour M, Vatanpour V, Khataee A (2016) Preparation and characterization of graphene oxide/ $TiO_2$  blended PES nanofiltration membrane with improved antifouling and separation performance, Desalination, 393: 65-78.
- [29]. Hu, L., et al., 2012. Preparation and performance of novel thermally stable polyamide/PPENK composite nanofiltration membranes. *Applied Surface Science*, 258(22): pp. 9047-9053.
- [30]. Sivakumar, M., et al., 1998. Modification of cellulose acetate: Its characterization and application as an ultrafiltration membrane. *applied polymer science*, 67(11): pp. 1939-1946.
- [31]. Gholami A, Moghadassi A R, Hosseini S M, Shabani S, Gholami F (2014) Preparation and characterization of polyvinyl chloride based nanocomposite nanofiltration-membrane modified by iron oxide nanoparticles for lead removal from water, *Industrial Engineering Chemistry*, 20, 4: 1517-1522.
- [32]. Rajesh S, Senthilkumar S, Jayalakshmi A, Nirmala M T, Ismail A F, Mohan D (2013) Preparation and performance evaluation of poly (amide-imide) and  $TiO_2$  nanoparticles impregnated polysulfone nanofiltration membranes in the removal of humic substances, *Colloids Surfaces A: Physicochemical Engineering Aspects*, 418: 92-104.
- [33]. Chang X, Wang Z, Quan S, Xu Y, Jiang Z, Shao L (2014) Exploring the synergetic effects of graphene oxide (GO) and polyvinylpyrrolidone (PVP) on poly (vinylidenefluoride)(PVDF) ultrafiltration membrane performance, *Applied Surface Science*, 316: 537-548.
- [34]. Nasrollahi N, Atanpour V, Aber S, Mahmoodi N M (2017) Preparation and characterization of a novel polyethersulfone (PES) ultrafiltration membrane modified with a CuO/ZnO nanocomposite to improve permeability and antifouling properties, *Separation and Purification Technology*, 192: 369-382.
- [35]. Abdul Mannan H, Mukhtar H, Shima Shaharun M, Roslee Othman M, Murugesan T (2016) Polysulfone/poly (ether sulfone) blended membranes for  $CO_2$  separation, *Journal of Applied Polymer Science*, 133: 5.
- [36]. Bandehali S, Parvizian F, Moghadassi A, Hosseini S M (2019) High water permeable PEI nanofiltration membrane modified by L-cysteine functionalized POSS nanoparticles with promoted antifouling/separation performance, *Separation Purification Technology*, 237: 116361.
- [37]. Bagheripour E, Moghadassi A, Hosseini S M (2016) Preparation of mixed matrix PES-based nanofiltration membrane filled with PANI-co-MWCNT composite nanoparticles, *Korean Journal of Chemical Engineering*, 33, 4: 1462-1471.
- [38]. Bandehali S, Moghadassi A, Parvizian F, Hosseini S (2019) A new type of [PEI-glycidyl POSS] nanofiltration membrane with enhanced separation and antifouling performance, *Korean Journal of Chemical Engineering*, 36, 10: 1657-1668.
- [39]. Mansourpanah Y, Madaeni S S, Rahimpour A, Adeli M, Hashemi M Y, Moradian M R (2011) Fabrication new PES-based mixed matrix nanocomposite membranes using polycaprolactone modified carbon nanotubes as the additive: property changes and morphological studies, *Desalination*, 277, 1-3: 171-177.

- [40]. Sivakumar M, Mohan D R, Rangarajan R (2006) Studies on cellulose acetate-polysulfone ultrafiltration membranes: II. Effect of additive concentration, *Membrane Science*, 268, 2: 208-219.
- [41]. Hosseini S, Afshari M, Fazlali A R, Farahani S K, Bandehali S, Van der Bruggen B, Bagheripour E (2019) Mixed matrix PES-based nanofiltration membrane decorated by ( $\text{Fe}_3\text{O}_4$ -polyvinyl pyrrolidone) composite nanoparticles with intensified antifouling and separation characteristics, *Chemical Engineering Research Design*, 147: 390-398.
- [42]. Bagheripour E, Moghadassi A R, Hosseini S M, Van der Bruggen B, Parvizian F (2018) Novel composite graphene oxide/chitosan nanoplates incorporated into PES based nanofiltration membrane: chromium removal and antifouling enhancement, *Journal of Industrial and Engineering Chemistry*, 62: 311-320.
- [43]. Sianipar M, Kim S H, Iskandar F, Wenten I G (2017) Functionalized carbon nanotube (CNT) membrane: progress and challenges, *RSC Advances*, 7, 81: 51175-51198.
- [44]. Ghaemi N, Madaeni S S, Alizadeh A, Rajabi H, Daraei P (2011) Preparation, characterization and performance of polyethersulfone/organically modified montmorillonite nanocomposite membranes in removal of pesticides, *Journal of Membrane Science*, 382, 1-2: 135-147.
- [45]. He Y, Tang Y P, Chung T S (2016) Concurrent removal of selenium and arsenic from water using polyhedral oligomeric silsesquioxane (POSS)-polyamide thin-film nanocomposite nanofiltration membranes, *Industrial Engineering Chemistry Research*, 55, 50: 12929-12938.
- [46]. Zhao Y, Yuan Q (2006) A comparison of nanofiltration with aqueous and organic solvents, *Journal of membrane Science*, 279, 1-2: 453-458.
- [47]. Ghaemi N, Madaeni S S, Alizadeh A, Daraei P, Vatanpour V, Falsafi M (2012) Fabrication of cellulose acetate/sodium dodecyl sulfate nanofiltration membrane: characterization and performance in rejection of pesticides, *Desalination*, 290: 99-106.
- [48]. Gueye M, Richardson Y, Kafack F T, Blin J (2014) High efficiency activated carbons from African biomass residues for the removal of chromium (VI) from wastewater, *Environmental Chemical Engineering*, 2, 1: 273-281.
- [49]. Hosseini S, Ebrahimi M, Khodabakhshi A, Nemati M, Askari M (2019) Fabrication of mixed matrix ion exchange membrane by using activated carbon nanoparticles modified by chitosan: investigation of electrolyte concentration and pH effects on transfer properties, *Journal of Petroleum Research*, 29, 98-2: 72-83.
- [50]. Fan L, Luo C, Sun M, Li X, Qiu H (2013) Highly selective adsorption of lead ions by water-dispersible magnetic chitosan/graphene oxide composites, *Colloids Surfaces B: Biointerfaces*, 103: 523-529.
- [51]. Kyzas G Z, Kostoglou M, Lazaridis N K (2009) Copper and chromium (VI) removal by chitosan derivatives—Equilibrium and kinetic studies, *Chemical Engineering Journal*, 152, 2-3: 440-448.
- [52]. Bandehali S, Moghadassi A, Parvizian F, Hosseini S M (2020) Improvement in separation performance of PEI-based nanofiltration membrane by using functionalized titanium dioxide nanoparticles, *Journal of Petroleum Research*, 29, 109: 108-119.



## Petroleum Research

Petroleum Research, 2022(October-November), Vol. 32, No. 125, 20-22

DOI:10.22078/PR.2022.4700.3113

# Magnesium Chloride Removal by Nanofiltration Membranes Prepared from Cuprous Oxide Nanoparticles

Shakiba Ghohyei, Abdolreza Moghadassi\*, Samaneh Bandehali\*, Morteza Habibi and Maryam Eskandari

Department of Chemical Engineering, Faculty of Engineering, Arak University, Iran

a-moghadassi@araku.ac.ir

s-bandehali@phd.araku.ac.ir

DOI:10.22078/PR.2022.4700.3113

Received: January/10/2022

Accepted: June/13/2022

## Introduction

Membrane technology as an attractive method in separation processes has been growing recently. Nanofiltration membranes are one of the types of filtration membranes that have shown excellent separation performance for monovalent and polyvalent salts. The use of nanotechnology and nanomaterials in membrane matrices is one of the promising methods to increase membrane separation performance and their physical and chemical properties [1-4]. Graphene oxide, metal oxide nanoparticles, carbon nanotubes, etc. have been studied as a hydrophilic nanomaterial for membrane fabrication [5,6]. In this study, copper oxide nanoparticles were synthesized. These nanoparticles are widely used in solar cells, sensors (biosensor and gas sensors), polymer memory devices, semiconductor devices, as photocatalysts and electrocatalysts, lithium ion batteries [7-9]. Nanoparticles were then used to fabricate PES-based membranes. Modified and unmodified membranes were identified by FTIR, SEM analysis. The separation performance of the prepared membrane with pure water flux and  $MgCl_2$  salt yield was investigated.

## Materials and Methods

Polyethersulfone (PES) manufactured by BASF as a membrane body material with a molecular weight of 58000 g/mol, Polyvinylpyrrolidene (PVP) manufactured by Merck Germany was used. Dimethyl acetate (DMAC) produced by Merck Company was also used as a polymer solvent with a molecular weight of 87.12 g/mol. Ion-free water was also used

as an insoluble bath in the experiments. Monovalent copper oxide ( $Cu_2O$ ) nanoparticles with the smallest diameter of 12.19 nm, which were synthesized electrochemically, were used as membrane modifiers. Merck magnesium chloride ( $MgCl_2$ ) was used to evaluate membrane performance.

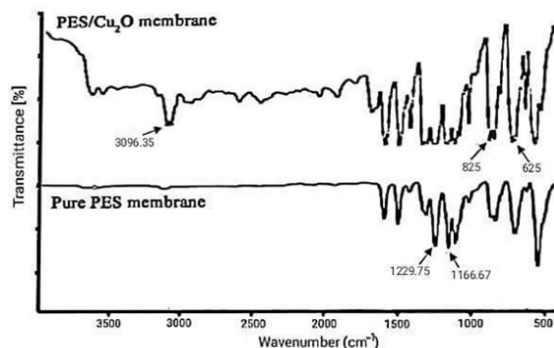
## Membrane Preparation

Nanofiltration membranes were fabricated by phase inversion and immersion in ion-free water. To make membranes with this method, polymer solutions containing PES as body polymer, PVP as pore-forming, copper oxide (I) nanoparticles in different concentrations as modifier and DMAC were stirred as solvent for 5 hours by a model magnetic stirrer (Velp Scientific) at 300 rpm to completely dissolve the material and obtain uniform solutions. Then, for better dispersion of the nanoparticles, the solutions were placed in an ultrasonic device for 40 minutes. They were kept at room temperature for 12 hours to remove air bubbles from the solution. Next, the uniform solutions containing the nanoparticles are spread by a 300  $\mu m$ -thick hand-held film on a clean, dry glass plate at the same constant rate and then immediately transferred to an ion-free water bath at room temperature. The membranes were then washed with ion-free water and placed in a container containing ion-free water for 24 hours to ensure the release of solvent and water-soluble materials. The membranes were placed between two sheets of filter paper in room air for 24 hours to dry completely.

## Results and Discussion

### Membrane Analysis

The results of infrared spectroscopic analysis for fabricated membranes including pure PES and modified membranes are shown in Figure 1. Infrared spectroscopy was performed in the range of 400-4000 cm<sup>-1</sup>. The peaks shown in 1637.32 and 3444.15 cm<sup>-1</sup> correspond to the O-H bonds in the vibrating and curved state. Also, the bands specified in 828.07 and 621.35 cm<sup>-1</sup> are related to Cu-O and Cu-O-Cu tensile vibrations. According to the results of infrared spectroscopy, the synthesized nanoparticles are free of any copper (II) oxide [10,11]. The peaks marked in the range of 600-500cm<sup>-1</sup> are related to metal oxide vibrations [12]. The identified bands 1166.67 cm<sup>-1</sup> are related to asymmetric tension in group S=O and 1229.75 cm<sup>-1</sup> for asymmetric tension in group S=O [13]. The peaks are widely observed in the range of 1487.15-1579.68 cm<sup>-1</sup>, which it is related to the benzene ring in the PES membrane [14]. Nanoparticles and membranes have wide adsorption peaks in the range of 3068.77 and 3096.35 cm<sup>-1</sup>, which belong to the hydroxyl functional groups of the O-H tensile group.



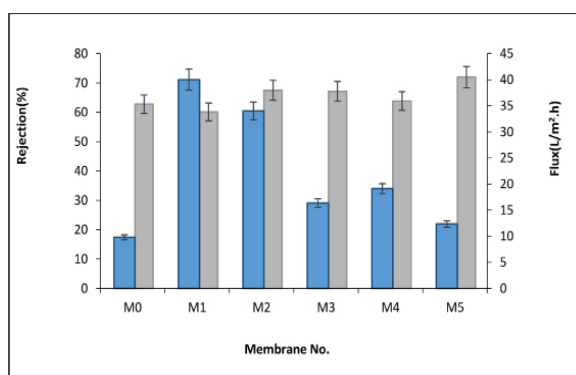
**Fig. 1** FTIR of fabricated membranes.

### Separation Performance

As shown in Table 1, the largest flow of pure water (36.78 L/m<sup>2</sup>h) passes through the M1 membrane. Moreover, the MgCl<sub>2</sub> rejection (Figure 2) improved from 62.78% to 72%.

**Table 1** Flux results of prepared membranes.

Membrane No.	Flux (L/m <sup>2</sup> h)
M0	9.8
M1	36.78
M2	29.49
M3	13.7
M4	14.61
M5	11.75



**Fig. 2** The MgCl<sub>2</sub> rejection of membranes.

### Conclusions

This study reported the fabrication of PES membranes containing copper (I) oxide nanoparticles. The highest pure water flux was obtained by M1 membrane which has 0.05 wt.% of synthesized nanoparticles and the highest salt yield was obtained by M5 membrane which has 2% by weight of synthesized nanoparticles. Pure water flux increased due to the presence of hydrophilic groups and an increase in the average size of cavities and porosity. The increase in yield can also be related to the creation of more active sites of magnesium chloride adsorption and the presence of a negative charge for Cl<sup>-</sup> excretion.

### References

- Van der Bruggen B, Vandecasteele C (2003) Removal of pollutants from surface water and groundwater by nanofiltration: overview of possible applications in the drinking water industry, *Environmental Pollution*, 122: 435-445.
- Yaser A Z (2011) Development of integrated nanofiltration system for highly concentrated dye removal, Swansea University.
- Bandehali S, Parvizian F, Moghadassi A, Shen J, Hosseini S M (2020) Improvement in separation performance of PEI-Based Nanofiltration Membrane By Using Functionalized Titanium Dioxide Nanoparticles, *Journal of Petroleum Research*, 29, 109: 108-119.
- Mulder J (2012) Basic principles of membrane technology, Springer Science and Business Media.
- Garcia A, Rodriguez B, Ozturk D, Rosales M, Diaz D, Mautner A (2018) Incorporation of CuO nanoparticles into thin-film composite reverse osmosis membranes (TFC-RO) for antibiofouling properties, *Polymer Bulletin*, 75: 2053-2069.
- Hosseini S, Afshari M, Fazlali A, Farahani S K, Bandehali S, Van der Bruggen B, Bagheripour E (2019) Mixed matrix PES-based nanofiltration membrane decorated by (Fe<sub>3</sub>O<sub>4</sub>-polyvinylpyrrolidone) composite nanoparticles with intensified antifouling and separation

- characteristics. *Chemical Engineering Research Design*, 147: 390-398.
- 7. Yang H, Ouyang J, Tang A, Xiao Y, Li X, Dong X, Yu Y (2006) Electrochemical synthesis and photocatalytic property of cuprous oxide nanoparticles, *Materials Research Bulletin*, 41: 1310-1318.
  - 8. Valodkar M, Pal A, Thakore S (2011) Synthesis and characterization of cuprous oxide dendrites: New simplified green hydrothermal route, *Alloys Compounds*, 509: 523-528.
  - 9. Khattar H K, Al-Hasnawi S W R, Al-Saady. F A (2015) Electrolytic prepa ration and characterization of cuprous oxide nano powder, *International Journal of Electrical Computer Sciences IJECS-IJENS*, 15: 6-12.
  - 10. Singh R, Yadav V, Purkait M K (2019) Cu<sub>2</sub>O photocatalyst modified antifouling polysulfone mixed matrix membrane for ultrafiltration of protein and visible light driven photocatalytic pharmaceutical removal, *Separation Purification Technology*, 212: 191-204.
  - 11. Xu Z, Ye S, Zhang G, Li W, Gao C, Shen C, Meng Q (2016) Antimicrobial polysulfone blended ultrafiltration membranes prepared with Ag/Cu<sub>2</sub>O hybrid nanowires, *Journal of membrane science*, 509: 83-93.
  - 12. Nasrollahi N, Vatanpour V, Aber S, Mahmoodi NM (2018) Preparation and characterization of a novel polyethersulfone (PES) ultrafiltration membrane modified with a CuO/ZnO nanocomposite to improve permeability and antifouling properties, *Separation and Purification Technology*, 192: 369-382.
  - 13. Abdul Mannan H, Mukhtar H, Shima Shaharun M, Roslee Othman M, Murugesan T (2016) Polysulfone/poly (ether sulfone) blended membranes for CO<sub>2</sub> separation, *Journal of Applied Polymer Science*, 133, 5.
  - 14. Bandehali S, Parvizian F, Moghadassi A, Hosseini S M (2019) High water permeable PEI nanofiltration membrane modified by L-cysteine functionalized POSS nanoparticles with promoted antifouling/separation performance, *Separation Purification Technology*. 116361.